

افرايش پايداري دمائي پروتاز ساليني وييري پروتوليتكوس AF-2004 با استفاده از



جهش زايی هدفمند مكانی

ماتیا سادات برهانی^۱ و زهرا اعتمادی فر^۲

^۱ ایران، گبدکاووس، دانشگاه گبدکاووس، دانشکده علوم پایه و فنی مهندسی، گروه زیست‌شناسی

^۲ ایران، اصفهان، دانشگاه اصفهان، دانشکده علوم و فناوری زیستی، گروه زیست‌شناسی سلولی و مولکولی و میکروبیولوژی

تاریخ پذیرش: ۱۳۹۹/۰۷/۱۵

چکیده

روشهای جهش زایی هدفمند مکانی، یکی از مؤثرترین روشها در بهبود فعالیت و پايداري آنزیمهای صنعتی است. در مطالعه حاضر، اثر جایگزینی آمينواسید آلانین ۵۶ به ايزولوسین، بر پايداري دمائي متالوپروتاز توليد شده توسط يك باكتري نسبتاً هالوفيل به نام ساليني وييري پروتوليتكوس برسی شد. به منظور تعیینه سویه جهش یافته مورد نظر، از پرايمرهای جهش زا (موتاژنیک) و سپس تیمار با آنزیم محدود الاثر I Dpn استفاده شد. ژن جهش یافته حاصله در سازه بیانی L pQE80L، به سویه‌های بیانی مختلف اشریشیا کلای (مانند سویه‌های BL21(DE3)، pLysS، XL1-Blue و Top10) ترانسفورم شد. سپس بیان آنزیم نوترکیب تحت شرایط مختلف کشت، بهینه‌سازی گردید. آنزیم جهش یافته و آنزیم طبیعی، از ژل زیموگرافی استخراج شدند. در نهايیت، پايداري دمائي و فعالیت آنزیم جهش یافته و آنزیم طبیعی، برسی شد. حداکثر میزان بیان آنزیم، با استفاده از سویه میزبانی اکتوکسیون در دمای ۳۷ درجه سانتی گراد، به دست آمد. آنزیم طبیعی و جهش یافته، به ترتیب حدود ۴۲ و ۲۴ درصد از فعالیت خود را بعد از اکتوکسیون در دمای ۷۰ درجه سانتی گراد به مدت ۲۰ دقیقه از دست دادند. از طرفی، فعالیت آنزیم جهش یافته نسبت به آنزیم طبیعی، حدود ۱۱ درصد بیشتر بود. بنابراین، فعالیت و پايداري دمائي متالوپروتاز باكتري ساليني وييري پروتوليتكوس جهش یافته (جایگزینی آلانین ۵۶ به ايزولوسین) نسبت به آنزیم طبیعی بهبود یافت.

واژه‌های کلیدی: بهینه‌سازی، همسانه‌سازی بیانی، متالوپروتاز، هالوفیل، زیموگرافی

* نویسنده مسئول، تلفن: ۰۳۱۳۷۹۳۲۳۶۷، پست الکترونیکی: z.etemadifar@sci.ui.ac.ir

مقدمه

با خصوصیات منحصر به فرد محسوب می‌گردد. با این وجود، از آن جایی که شرایط فیزیکوشیمیایی مورد نیاز در صنایع مختلف، در تکامل طبیعی پروتازها وجود نداشته است، اغلب پروتازها در این شرایط ناپايدار یا غيرفعال هستند (۲۰). روشهای جهش زایی هدفمند مکانی، یکی از روشهای پرطریدار بهبود خصوصیات آنزیم یک سویه صنعتی است. در این روش، برخلاف روشهای تصادفی Directed evolution (method)، نیاز به دانستن ژن و ساختار پروتئین مربوطه

به منظور استفاده از پروتازها در صنعت، حفظ فعالیت و پايداري آنها در شرایط غیرفیزیکی مانند pH بالا، دمای بالا و در حضور عوامل چلاته‌کننده یونها و دترجتها، ضروری است (۱۲). ناتوانی پروتازهای گیاهی و حیوانی در پاسخگویی به نیازهای مطرح در بخش صنعت، منجر به توجه روزافرون به پروتازهای میکروبی و مخصوصاً باكتریایی شده است. به ویژه آنکه برخی از سویه‌های میکروبی اکسترموفیل مانند آلکالوفیل‌ها، ترموفیل‌ها و هالوفیل‌ها، متابعی ارزشمندی در جهت تولید پروتازهای

دارای اسیدهای آmine ۲۰۰ تا ۵۱۱ در ساختار خود می‌باشد و در واقع در طی فرآیند بلوغ خود آmine اسیدهای ۱-۱۹۹-۶۱۱-۵۱۲-۶-۱۱-N-ترمینال و آmine اسیدهای C-انتهای ترمینال خود را از دست می‌دهد. در واقع آنzyme مربوطه، همانند دیگر پروتئازهای خانواده خود (خانواده متالوپروتئازهای M4)، ابتدا به صورت یک پروتئین غیرفعال ساخته شده و با برش در انتهای N-ترمینال و C-ترمینال خود، به صورت آنzyme فعال و بالغ در می‌آید. وزن مولکولی فرم بالغ این آنzyme که در هر دو انتهای N-ترمینال و C-ترمینال خود برش یافته است، حدود ۳۴ کیلو Dalton بوده و با توجه به نتایج SDS-PAGE آنzyme مونومر است (۱۴).

آنالیز توالی اسید آmine ای پروتئین حاصل از این ژن، نشان داد که آنzyme کد شده یک متالوپروتئاز حاوی روی (Zn) می‌باشد و دارای یک موتیف محافظت شده زینک M4 متالوپروتئازی است (HEXXH-E) که در خانواده متالوپروتئازها (خانواده ترمولیزین) بسیار حفاظت شده است. ترمولیزین یک پروتئاز گرمادوست (ترموفیل) با کاربرد در صنعت به ویژه سترز پیتید بوده و از باکتری باسیلوس ترموبوتولیتیکوس به دست می‌آید (۲۱ و ۲۰). این موتیف (HEVSH) بین اسید آmine ۳۴۶-۳۵۰ این آنzyme یافت می‌شود. همچنین نتایج آزمایشگاهی مطالعات قبلی نشان داده است که این آنzyme با چلاتورهای فلزات مانند EDTA (اتیل دی آمین ترا استات) و با چلاتور اختصاصی یون روی (Zn) یعنی ۱۰-فناکنولین مهار می‌شود، اما با مهار کننده‌های سرین، سیستین و آسپارتیل پروتئازها مهار نمی‌گردد. از طرفی فعالیت آنzyme با فسفورامیدون (phosphoramidon) که یک مهار کننده پیتیدی رقابتی برای پروتئازهای مشابه ترمولیزین است، مهار می‌گردد. بنابراین می‌توان گفت پروتئاز سویه AF-2004، جز متالوپروتئازهای مشابه ترمولیزین می‌باشد (۷ و ۱۴).

آنzyme پروتئاز سویه AF-2004، از خود پایداری خوبی در

است (۱۶). تاکنون تحقیقات بی شماری در ارتباط با جهش‌زایی هدفمند مکانی پروتئازها، که پرکاربردترین آنzyme های مورد استفاده در صنعت هستند، صورت گرفته است. در اغلب موارد، هدف از جهش‌زایی هدفمند مکانی، افزایش پایداری آنzyme و همچنین تغییر در ویژگی و طیف سوبسترایی آنzyme بوده است (۲۳، ۲۰، ۱۸، ۱۷، ۱۰).

در این مطالعه، به بررسی افزایش پایداری دمایی پروتئاز یک سویه نسبتاً هالوفیل به نام سالینی و بیریو پروتئولیتیکوس (IBRC-M 10218 AF-2004) پرداخته شده است. به منظور آشنازی بیشتر با باکتری و پروتئاز آن، ابتدا به بررسی نتایج مطالعات گذشته پرداخته می‌شود. جنس سالینی و بیریو متعلق به خانواده ویریوناسه، راسته ویریونالس و رده گاماپروتئوباكتریا می‌باشد. این باکتری، باسیل گرم منفی خمیده، نسبتاً هالوفیل، بی‌هوای اختیاری، متحرك با یک فلاژله قطبی، بدون اسپور، اسیداز منفی و کاتالاز مثبت است. بهینه رشد این سویه در دمای ۳۲-۳۵ درجه سانتی گراد و در pH ۵-۱۰ در حضور AF-2004 درصد نمک کلرید سدیم اتفاق می‌افتد. سویه قادر به رشد در عدم حضور نمک و همچنین در غلظت ۲۰ درصد نمک نیست (۵). لازم به ذکر است که ژن پروتئاز تولید شده توسط این سویه، از طریق ساخت کتابخانه ژنومی در سازه (وکتور) pBluescript و بررسی ۱۰ هزار سلولهای ترانسفورم شده حاصله، بر روی محیط لوریا بتانی آگار حاوی شیر بدون چربی و آمپیسیلین یافت شد. تنها همسانه (کلون) دارای فعالیت پروتئازی از این کتابخانه ۳/۶ kb بود که آنالیزهای ژنتیکی ژنی، دارای قطعه‌ای حدود ۳/۶ kb بود که آنالیزهای ژنتیکی متعاقب بر روی این همسانه، نشان داد که این همسانه دارای یک قالب باز خواندن (ORF) به طول ۱۸۳۶ bp و در نتیجه آنzyme دارای ۶۱۱ اسید آmine است. همچنین در مطالعات گذشته، ژن کامل این آنzyme به منظور افزایش بیان پروتئاز، در سازه pQE-80L همسانه سازی و به سویه اکلای BL21(DE3) ترانسفورم گردید. آنالیزهای پروتئینی صورت گرفته بر روی این آنzyme، مشخص کرده است که آنzyme بالغ

پیشگویی ساختار سه بعدی آنزیم پروتئاز: ساختار دوم پروتئین با استفاده از سرور swiss model منظور شبیه‌سازی مدل سه بعدی آنزیم پروتئاز مورد مطالعه، از سرورهای مختلف (phyre2 و swiss model) و نرم افزار (Modeller) استفاده شد. در میان پروتئازهای مشابه که ساختار سه بعدی آنها در پایگاههای اطلاعاتی مربوطه موجود بود، آنزیم الاستاز سودوموناس آئروژنوزا (PDB code = 1EZM) به عنوان الگوی ساختاری انتخاب شد. شباهت ۶۱ درصدی بین توالی این دو آنزیم تایید می‌کند که احتمالاً مدل سه بعدی به دست آمده، دارای درجه اطمینان بالا به منظور استفاده در آنالیزهای بیوانفورماتیکی بعدی است. سپس ساختار به دست آمده با استفاده از سرور Procheck ارزیابی گردید.

آنالیزهای بیوانفورماتیک و طراحی پرایمر برای ایجاد جهش: توالی متالوپروتئاز باکتری سالینی ویریوپروتئیکوس با متالوپروتئازهای ترموفیل (ترمولیزین، پروتئاز مشابه ترمولیزین باسیلوس استئاروترموفیلوس)، ساکروفیل (ویریولیزین‌های MCP-02 و E495) و مزووفیل (پسدوولیزین) هم خانواده خود که پایداری دمایی متفاوتی داشتند، هم ردیفی شد. از روی نتایج هم ردیفی، جهش A56I انتخاب گردید. همچنین اثر جهش بر پایداری دمایی آنزیم پروتئاز، با استفاده از سرورهای بیوانفورماتیکی (Maestro، HoT MUSiC، PoPMuSiC و گوناگون Eris) مورد بررسی قرار گرفت.

سپس پرایمراهایی که باعث ایجاد جهش زایی هدفمند مکانی در موقعیت ۵۶ آنزیم به ایزولوسمین می‌شدند، به صورت دستی طراحی شدند (جدول ۱). موقعیت اتصال پرایمراها و جهش ایجاد شده در توالی نوکلئوتیدی ژن پروتئاز مورد بررسی، در شکل ۲ نشان داده شده است. در نهایت، پرایمراهای طراحی شده از نظر دمای Tm، GC clamp، G+C% تشکیل ساختار ثانویه سنجاق سری، تشکیل دایمر پرایمر با خودش و با پرایمر دیگر، مورد

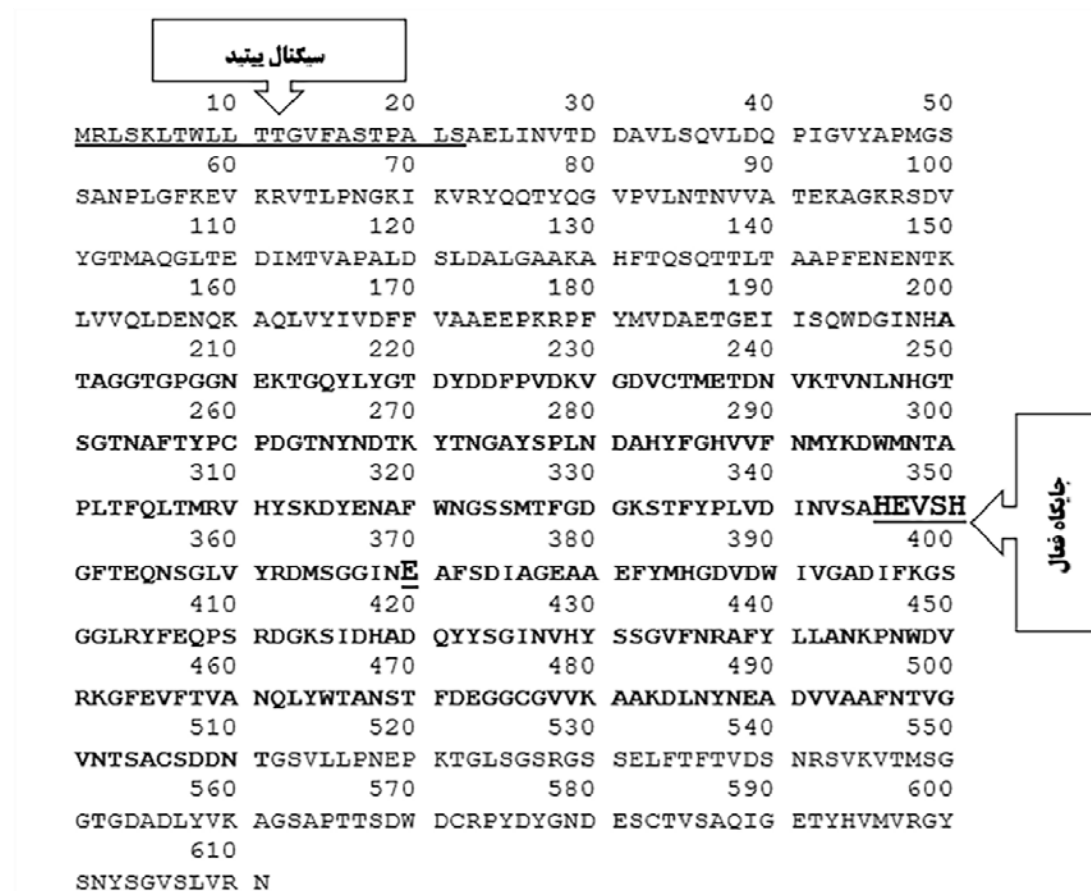
غلاظتها مختلف نمک، pH قلیایی و در حضور حلالهای آلی نشان داده است. با این وجود، مطالعات پایداری دمایی متالوپروتئازهای خانواده M4 نشان داده است که ناحیه N-ترمینال پروتئازهای این خانواده پایدار نیست و با مطالعات مهندسی پروتئین، می‌توان پایداری دمایی این پروتئازها را به نحو مؤثری تحت تاثیر قرار داد (۱۱). بنابراین در این مطالعه سعی بر آن بوده است که اثر جهش زایی هدفمند مکانی در ناحیه N-ترمینال متالوپروتئاز سویه AF-2004 مورد بررسی قرار گیرد. بدین منظور، از بین آمینواسیدهای ناحیه N-ترمینال در فرم بالغ این آنزیم و با توجه به نتایج هم ردیفی توالی آنزیم مربوطه با دیگر اعضای خانواده M4 اثر جایگزینی آمینواسید آلانین ۵۶ به ایزولوسمین (A56I) بر پایداری دمایی این آنزیم مورد بررسی قرار گرفت.

مواد و روشها

شرایط کشت و محیطهای کشت مورد استفاده: در این مطالعه، از محیط کشت NZY⁺ برات، در مرحله جهش زایی استفاده شد. برای تهیه یک لیتر از این محیط کشت، به هیدرولیزه کازائین (۱۰ g/L)، عصاره مخمیر (۵ g/L)، کلرید سدیم (۱۰ g/L)، کلرید منیزیم ۱M (۱۲/۵ mL)، سولفات منیزیم ۱M (۱۲/۵ mL) و گلوكز ۲۰ درصد (۲۰ mL) نیاز است. همچنین به منظور بهینه‌سازی بیان آنزیم نوترکیب، از محیط‌های کشت LB (لوریا برتانی)، YT (عصاره مخمیر-تریپتون) و TB (Terrific broth) استفاده شد. (۲۱).

ژن و توالی اسید آمینه ای پروتئاز مورد بررسی: شماره دستیابی به توالی ژن و توالی پروتئینی آنزیم مورد مطالعه، در سایت NCBI به ترتیب برابر با ABI93183 و DQ908958 می‌باشد. همچنین توالی پروتئینی آنزیم در سایت EXPASY با شماره دستیابی Q06DP6 یافت می‌شود. در شکل ۱، توالی اسید آمینه‌ای و جایگاههای مربوط به برش آنزیم نابالغ و همچنین جایگاه فعل آنزیم و توالی سیگنال پیتید نشان داده شده است.

ارزیابی قرار گرفتند.



شکل ۱- توالی پروتئینی پروتئاز سویه سالینی و بیریو پروتئولیتیکوس AF-2004. محل سیگنال پیتید به صورت حروف غیرپررنگ و زیرخط دار آمینواسیدهای موجود در فرم بالغ آنزیم (آمینواسیدهای ۵۱۱-۰۵۰) به صورت پررنگ شده، جایگاه فعل آنزیم به صورت حروف غیرپررنگ، پررنگ و همچنین به صورت زیرخط دار نشان داده است.

جدول ۱- ویژگی‌های پرایمرهای جهش‌زای استفاده شده در روش جهش زایی وابسته به جایگاه. کدون جهش یافته به صورت حروف پررنگ و زیرخط دار نشان داده شده است

نام پرایمر	توالی پرایمر	طول پرایمر (نوکلئوتید)	Tm (°C)
A54I-F	CGGCACATCAGGCACCAAC <u>AT</u> CTTACGTACCCATGTCCAG	۴۱	۶۸/۴
A54I-R	CTGGACATGGGTACGTAAA <u>GAT</u> GTGGTGCCTGATGTGCCG	۴۱	۶۸/۴

جهش‌زائی هدفمند مکانی: سازه حاوی توالی DNA ژن پلاسمید K0502 (Thermo Scientific)، با استفاده از پرایمرهای جهش‌زا، PCR شد. مواد مورد نیاز PCR برای انجام واکنش $50 \mu\text{L}$ شامل بافر $10 \times (10 \mu\text{L})$ ، با DNA با غلظت ng ۵-۵۰، هر کدام از پرایمرها با غلظت

جهش‌زائی هدفمند مکانی: سازه حاوی توالی DNA ژن پرتوثاز سویه AF-2004، توسط دکتر حمیدرضا کربلائي حیدري فراهم شد (۱۴). به منظور ساخت رشته جهش یافته، ابتدا سازه باکتری (کیت استخراج

دناتوراسیون (۹۵ درجه سانتی گراد، ۳۰ ثانیه)، اتصال پرایمر (۵۵ درجه سانتی گراد، ۶۰ ثانیه) و سنتز (۶۸ درجه سانتی گراد، ۷ دقیقه) تنظیم گردید.

PfuTurbo (۱۰ pmol / ۵ µL) و آنزیم dNTP (۲/۵ U/µL / ۱ µL) با غلظت DNA polymerase برنامه PCR شامل مراحل دناتوراسیون اولیه (۹۵ درجه سانتی گراد، ۳۰ ثانیه، ۱ سیکل)، و ۱۶ سیکل از

>DQ908958.1 *Salinivibrio proteolyticus* zinc metalloprotease precursor (svp) gene, complete cds

```

1 ATGAGATTAT CCAAGTTAAC TTGGTTATTAA ACCACAGGGG TTTTGCAAG CACACCCGCA
61 CTCAGTGCAG AGCTGATTAA TGTGACCGAC GATGCCGTAC TGAGTCAGGT TCTCGACCAA
121 CCAATCGGTG TGTATGCCCC AATGGGCTCG TCAGCCAATC CGCTAGGTTT CAAAGAAGTA
181 AAACCGCTGA CGCTGCCCTAA CGGCAAATC AAAGTGGCCT ACCAACAGAC GTATCAGGGC
241 GTTCCCGTAC TGAATACCAA TGTGGTCGCC ACTGAAAAAG CAGGAAAACG CAGCGATGTT
301 TACGGCACTA TGGCACAGGG CCTCACCGAA GACATTATGA CAGTCGCACC TGCACTAGAT
361 AGTCTAGATG CTTTAGGTGC TGCGAAAGCA CACTTCACAC AAAGCCAGAC CACTCTCACC
421 GCCGCTCCCT TTGAAAATGA GAACACCAAG TTGGTCGTTT AACTCGATGA AAACCAAAAAA
481 GCACAGCTCG TGTATATCGT GGATTCTTC GTCGCCGAG AGGAGCCTAA GCGTCCTTC
541 TACATGGTTG ATGCAGAAC AGGTGAAATC ATTAGCAGT GGGATGGGAT CAATCATGCA
601 ACTGCCGGTG GTACCGGTCC TGGTGGCAAT GAAAAAACGG GCCAATATCT GTATGGCACC
661 GATTATGATG ACTCCCCCGT CGATAAAAGTG GGCAGATGTT GTACCATGGAA AACCGATAAC
721 GTTAAACACGG TTAACCTGAA CCAGGCACA TCAGGCACCA ACGGCTTAC GTACCCATGT
781 CCAGTGGCA CCAACTACAA CGATACAAAA TACACTAATG GCGCATACTC CCCGCTGAAT
841 GACGGCATT ACTTTGGTCA CGTCGTTTC AATATGTACA AAGATTGGAT GAACACGGCA
901 CCACTGACCT TCCAGTTGAC GATGCGAGTC CATTACAGCA AGGATTATGA AAATGCCCTC
961 TGGATGGTA GTCGATGAC GTTCGGTGAT GGTAATCAA CGTTTATCC GTGGTCGAT
1021 ATCAACGTTA GCGCCCACGA AGTCAGTCAC GGTTTACCG AGCAAAACTC TGACTGGTA
1081 TATCGTGATA TGTCGGGTGG CATTAAAGCAG GCGTTCTCTG ATATGCCGG TGAAGCTGCT
1141 GAGTTCTACA TGCATGGTGA TGTAGACTGG ATTGTGGGT CGGATATCTT CAAAGGCTCA
1201 GGTGGTTTCG GTTACTTTGA ACAGCCTCG CGCGATGGCA AATCTATTGA CCATGCAGAT
1261 CAATACTACT CAGGTATTAA CGTGCACAT TCAAGCGGTG TCTTCAACCG TGCCCTTAC
1321 CTCCCTGCTA ACAAGCCAAA TTGGGATGTC CGAAAGGTT TTGAAGTC TACAGTTGCA
1381 ACCAAACTGT ACTGGACAGC CAATAGTAC TTTGATGGG GTGGTTGTGG TGTCGTTAAG
1441 GCGCGAAAG ATCTCACTA CAACGAAGCC GATGTGGTT CAGCCTTAA TACCGTCGGT
1501 GAAACACACT CGCCTGTT TGATGACAAC ACTGGTTCCG TGTTACTCCC TAACGAGCCA
1561 AAAACAGGGT TAAGTGGTAG CGTGGCTCT TCTGAGCTAT TCACTTTCAC TGTTGATAGC
1621 AACCGTTCGG TAAAAGTCAC CATGAGTGGC GGTACAGGGCG ATGCCGACTT ATATGAAAAA
1681 GCTGGTAGCGC CCCCCACAC AAGCGATGG GATTGTCGTC CATATGACTA TGAAAACGAC
1741 GAGTCATGTA CGGTCAAGCAGC ACAAAATTGGT GAAACCTTACG ATGTGATGGT TCGTGGCTAC
1801 TCTAACTACT CGGGTGTGAG CTTAGTTCGC AACTAA

```

شکل ۲- محل اتصال پرایمرهای طراحی شده برای ایجاد جهش به توالی ژنی پروتئاز سالینی و بیریو پروتئولیتیکوس. محل اتصال پرایمر به ژن پروتئاز سالینی و بیریو پروتئولیتیکوس در شکل با حروف پرنگ و محصور در کادر نشان داده شده است. محل جهش در پرایمرهای طراحی شده به صورت زیرخط دار مشخص شده است. کدون آلانین ۵۶ در آنزیم بالغ (با کدون GCG) با کدون ایزولوسین (با کدون ATC) در پرایمرها تغییر یافته است.

دست‌نخورده باقی‌مانده و با ترانسفورماتیون آن به سلول اکلایی، شکاف موجود در رشته‌ها بر طرف خواهد شد. سویه میکروبی مورد استفاده در این کیت، سویه اکلایی XL1-Blue می‌باشد.

ترنسفورماتیون و بهینه‌سازی بیان آنزیم جهش یافته: به منظور ترانسفورماتیون سازه حاوی ژن جهش یافته یا

برای انجام جهش‌زایی هدفمند مکانی از پروتکل کیت Quick change Site Directed Mutagenesis (Stratagene Cat No. 200519) استفاده شد. اساس کار این کیت به این صورت است که با استفاده از آنزیم محدود الاثر *Dpn* I رشته DNA قدیمی که حاوی جهش مورد نظر نیست، به دلیل متیله بودن، توسط این آنزیم برش می‌خورد و در نتیجه تنها رشته DNA که دچار جهش شده به صورت

زیموگرافی با باند مرتبط در ژل SDS-PAGE و مارکر پروتئینی آن مقایسه و تخمین زده می‌شود.

خالص‌سازی پروتئاز از ژل پلی‌اکریل‌آمید: برای خالص‌سازی پروتئین از ژل پلی‌اکریل‌آمید، ابتدا نیاز است که یک زیموگرافی از پروتئین مورد نظر صورت گیرد. بعد از رنگبری ژل زیموگرافی، محل آنزیم با استفاده از تیغ برش یافته و قطعات برش یافته درون میکروتیوب قرار داده شد. سپس به هر میکروتیوب، ۱ ملی‌لتر (mL) بافر حاوی Tris-HCl (۵۰ mM)، NaCl (۱۵۰ mM) و EDTA (۰/۱ mM) اضافه گردید. قطعات ژل با استفاده از سر سیمپلر خرد شدنده و میکروتیوب در انکوباتور شیکردار در دمای ۳۰ درجه سانتی گراد و دور ۱۵۰ rpm به صورت شبانه نگهداری شد. به منظور جداسازی پروتئین از باقیمانده ژل بعد از گذشت انکوباسیون شبانه، سانتریفیوژ در دور $\times 7378$ g به مدت ۱۰ دقیقه صورت گرفت. سوپرنا坦ت حاصله به میکروتیوب جدیدی انتقال یافته و حضور پروتئین و فعالیت داشتن آن، با استفاده از تست برdfورد و انجام مجدد زیموگرافی تأیید شد (۲۱).

سنجرش فعالیت آنزیمی و بررسی پایداری دمایی: به منظور سنجرش فعالیت آنزیمی، بعد از طی زمان مناسب حداقل تولید آنزیم (۲۴ ساعت بعد از انکوباسیون)، محیط کشت باکتری برداشت شده و سانتریفیوژ ($\times 7378$ g، ۱۰ دقیقه، ۴ درجه سانتی گراد) گردید تا سوپرنا坦ت به دست آمده به عنوان عصاره خام آنزیم مورد استفاده قرار گیرد. برای اندازه گیری فعالیت آنزیم پروتئاز از روش معرف فولین-سیوکالتو مطابق منبع ذکر شده استفاده شد.

بنا به تعریف، یک واحد فعالیت آنزیمی (U/mL) به مقداری از آنزیم گفته می‌شود که قادر است یک میکروگرم تیروزین را در عرض یک دقیقه تحت شرایط واکنش از پروتئین آزاد سازد (۸).

به منظور بررسی پایداری دمایی آنزیم جهش یافته و طبیعی، ابتدا آنزیمهای جهش یافته و طبیعی در بازه‌های

طبیعی پروتئاز مورد مطالعه، به سلولهای میزان باکتریایی، از روش کلرید کلسیم و شیفت دمایی (تغییر ناگهانی دما) استفاده شد. سلولهای تنسفورم شده حاصله، بعد از تأیید توسط تعیین توالی ژن، ابتدا از نظر بیان تولید پروتئاز بر روی پلیت‌های LB آگار حاوی آمبی‌سیلین و ۲ درصد شیر بدون چربی بررسی شدند. یک پلیت نیز از سویه بدون سازه به عنوان شاهد یا کنترل کشت داده شد. سپس به منظور افزایش بیان آنزیم نوترکیب، چه در سویه طبیعی و چه در سویه جهش یافته، آزمایش‌های مختلفی صورت پذیرفت. این آزمایشات شامل بررسی زمان انکوباسیون بعد از القاء (۱، ۲، ۴، ۵ و ۲۴ ساعت بعد از القاء)، افزودن غلاظت‌های مختلف IPTG به عنوان القاگر بیان (۰/۵-۱ mM)، IPTG (۰/۱-۱۰)، افزودن لاکتوز ۳ درصد همراه با IPTG کاهش دمای انکوباسیون بعد از القاء (۳۰ درجه سانتی گراد)، استفاده از محیط‌های کشت مختلف (مانند محیط‌های LB و TB و YT)، استفاده از سویه‌های بیانی مختلف از اکلای (مانند سویه‌های BL21(DE3) pLyS XL1-Blue و Top10) می‌باشد. ژن آنزیم پروتئاز سویه AF-2004 در سازه بیانی pQE80L وارد شده است.

SDS-PAGE و زیموگرافی: تکنیک SDS-PAGE بر اساس پروتکل موجود در منبع ذکر شده انجام گردید (۲۱). از آن جایی که آنزیم مورد مطالعه در حضور ۱۰ درصد SDS کاهش فعالیت از خود نشان نداد، در این مطالعه از روش زیموگرافی در حضور SDS و با افزودن کائزین ۶/۶۵ درصد در ژل به منظور قدرت تفکیک بهتر استفاده شد (۱۵). همچنین لازم به ذکر است که در نمونه زیموگرافی استفاده از مارکر پروتئینی به دلیل عدم فعالیت پروتئازی باندهای پروتئینی آن استفاده نمی‌گردد. در این حالت در ژل الکتروفورز عمودی حاوی دو جایگاه، ژل مربوط به SDS-PAGE و ژل زیموگرافی به صورت همزمان تحت تأثیر شرایط و محلول بافری یکسان اجرا می‌شوند. بعد از اتمام الکتروفورز و مرحله رنگ آمیزی، دو ژل در کنار هم قرار داده شده و وزن مولکولی باند مربوط به آنزیم در ژل

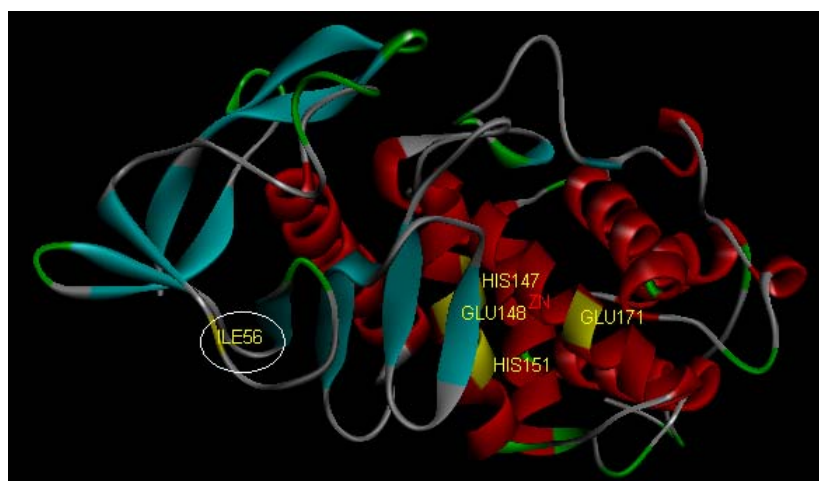
ساختار سه بعدی آنزیم و جهش زائی آن، از روش‌های همولوژی مدلینگ سرورهای Swiss model و Phyre2 و همچنین نرم افزار Modeller استفاده شد. در میان پروتازهای مشابه که ساختار سه بعدی آنها موجود بود، آنزیم الاستاز سودوموناس آثروزینوزا (PDB code = 1EZM) تنها آنزیم دارای ساختار سه بعدی تعیین شده بود که بالاترین شباهت را از نظر توالی آمینواسیدی با پروتاز مورد مطالعه داشت و بنابراین به عنوان الگوی ساختاری انتخاب شد. ارزیابی مدل‌های مختلف به دست آمده توسط سرور Procheck و بر اساس نمودار راماچاندران (Ramachandran) نشان داد که یکی از مدل‌های به دست آمده دارای درصد بالاتری از آمینواسیدهایی قرار گرفته در مناطق مجاز بوده (۹۹/۶ درصد) و بنابراین از این مدل سه بعدی در آنالیزهای بعدی استفاده گردید (شکل ۳).

زمانی مختلف (۵، ۱۰، ۱۵ و ۲۰ دقیقه) در بن ماری ۷۰ درجه سانتی گراد قرار گرفته و سپس فعالیت آنزیم در دمای ۳۷ درجه سانتی گراد مورد بررسی قرار گرفت.

آنالیزهای آماری: تمامی آزمایشات به منظور بررسیهای آماری به صورت سه تکرار انجام شدند. نتایج به دست Duncan's آمده با استفاده از آنالیز واریانس و تست SPSS موردن توسط نرم افزار SPSS موردن بررسیهای آماری قرار گرفتند. زمانی تفاوت نتایج از نظر آماری معنادار گزارش شد که p -value به دست آمده کمتر از ۰/۰۵ باشد.

نتایج

مدل سه بعدی پروتاز: از آنجایی که ساختار پروتئین توسط کریستالوگرافی اشعه ایکس یا رزونانس مغناطیسی هسته‌ای تعیین نشده است، الزاماً برای داشتن دید کلی در مورد



شکل ۳- ساختار سه بعدی آنزیم پروتاز سویه سالینی و بیربری پروتئوتیپکوس AF-2004 با استفاده از نرم افزار Swiss PDB view. محل جهش (A56I) در N-ترمینال پروتئین مشخص شده است. آمینواسیدهای His147, His 151, Glu 148, Glu 171 در فرم بالغ آنزیم، آمینواسیدهای کاتالیتیکی آنزیم می‌باشند.

تشکیل می‌دهند. همانطور که در این شکل مشاهده می‌شود، دومین N-ترمینال بیشتر دارای صفات بتا می‌باشد، در حالی که در C-ترمینال بیشتر ساختارهای دوم هلیکس یا مارپیچی مشاهده می‌شود. موتیف اتصال به اتم روی، یعنی HEXXH در دومین N-ترمینال و لیگاند سوم اتصال

با توجه به این شکل و همانطور که در مطالعات قبلی نیز در مورد ساختار پروتاز خانواده‌های M4 گزارش شده است، آنزیم یک ساختار دو دومینی دارد که جایگاه فعل بین دو دومین N-ترمینال و C-ترمینال قرار گرفته است. یون روی (Zn) و آمینواسیدهای His147, His 151, Glu148, His171، آمینواسیدهای Glu 171 مشخص شده در شکل، جایگاه فعل آنزیم را

ذخیره‌سازی شده و از بین آنها، کلونی ۱ که نتیجه تعیین توالی آن تأیید شده بود، برای کارهای بعدی مورد استفاده قرار گرفت. بررسی ابتدایی تولید پروتئاز در محیط کشت آکاردار حاوی ۲ درصد شیر بدون چربی، نشان داد که پروتئاز به خوبی توسط سویه جهش یافته و طبیعی در مقایسه با سویه بدون سازه، تولید می‌شود.

بهینه‌سازی بیان: نتایج اولیه در بهینه‌سازی بیان آنژیم نوترکیب، به قرار زیر است. از میان محیط‌های کشت مورد بررسی، بهترین مورد، محیط کشت TB بوده است. افزودن لاکتوز ۳ درصد به همراه IPTG، اثری بر افزایش بیان آنژیم BL21 داشت. بهترین سویه میزان بیانی، اکلای (DE3) pLysS می‌باشد. بیان در سویه XL1-Blue پایین بوده و تفاوت چشمگیری بین قبیل و بعد از القاء مشاهده نشد. از میان غلظت‌های مختلف IPTG غلاظت ۱ mM بهترین اثر را بر بیان آنژیم داشته است. همچنین کاهش دمای انکوباسیون از ۳۷° به ۳۰° درجه سانتی گراد بعد از القا اثر چشمگیری بر بیان آنژیم مورد نظر نداشت.

بیان آنژیمهای طبیعی و جهش یافته در زمانهای مختلف یعنی قبل از القاء، ۴ ساعت بعد از القاء و ۲۴ ساعت بعد از القاء با استفاده از 1 mM IPTG مورد بررسی قرار گرفت و نتایج مربوط به SDS-PAGE و زیموگرافی آن در شکلهای ۴ و ۵ به نمایش گذاشته شده است. لازم به ذکر است در شکلهای ۴ و ۵ سویه میزانی اکلای pLysS (DE3) ، BL21 محیط کشت TB، دمای انکوباسیون ۳۷ درجه سانتی گراد و سرعت همزنی ۱۵۰ rpm استفاده شده است.

نتایج زیموجرافی بیان آنژیم نوترکیب در سازه بیانی pQE80L در مقایسه با سویه کترل حاوی سازه بدون ژن موردنظر (نمونه شماره ۵) تأیید می‌کند که سویه میزبان، آنژیم مورد مطالعه را بیان کرده است. همچنین افزایش فعالیت آنژیم نوترکیب بعد از القاء با IPTG، با توجه به هاله‌های شفاف‌تر ایجاد شده در نمونه‌های ۳-۴ و ۶-۹ نسبت به نمونه‌های ۲ و ۱ تیز مؤید این موضوع

به اتم روی یعنی Glu171 در دومین C-ترمینال قرار گرفته است.

آنالیزهای بیوانفورماتیکی پایداری دمایی: نتایج آنالیزهای بیوانفورماتیکی جهش A56I توسط سرورهای مختلف در جدول ۲ به نمایش درآمده است. $\Delta\Delta G$ به تغییرات در انرژی آزاد G° و ΔT_m به تفاوت دمای ذوب بین آنزیم جهش یافته و طبیعی اشاره دارد. بنابراین، منفی بودن عدد $\Delta\Delta G$ و مثبت بودن عدد ΔT_m به پایدارتر شدن آنزیم جهش یافته نسبت به آنزیم طبیعی اشاره دارد.

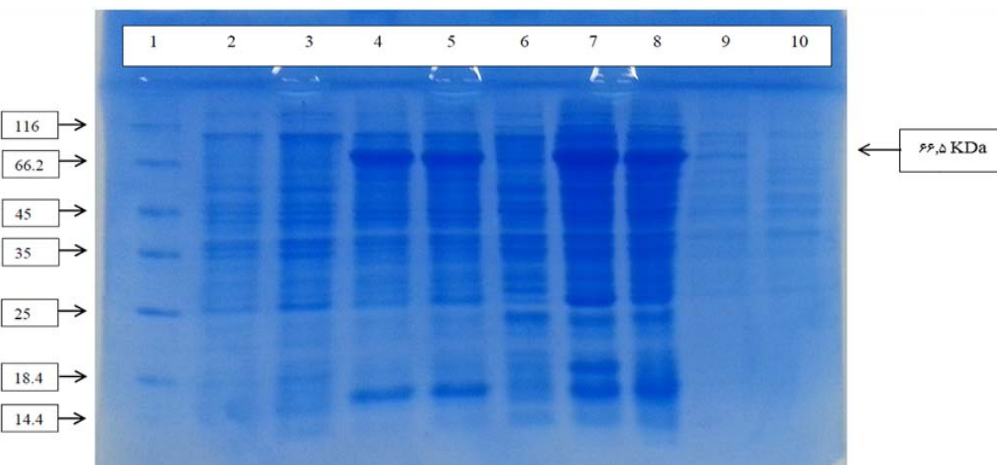
با توجه جدول ۲، تمام سرورهای بیوانفورماتیکی افزایش پایداری آنژیم جهش یافته را تأیید می‌کردن. با این وجود همانطور که در این جدول مشاهده می‌گردد، از سرورهای بیوانفورماتیکی که نتایج آنالیز خود را به طور مشابه و بر اساس $\Delta\Delta G$ (Kcal/mol) گزارش کرده اند (سرورهای Eris و PoPMuSiC)، سرور Maestro بالاترین میزان پایداری دمایی را بعد از انجام جهش در آلائین ۵۶ نشان داده است. این موضوع ضرورت استفاده از چندین سرور مختلف و مقایسه نتایج آنها را خاطر نشان می‌کند.

جدول ۲- نتایج آنالیز سروهای مختلف بیانفورماتیکی در مورد اثر جهش A56I در افزایش پایداری دمایی پرتوثاز سویه سالینی و پیریو پروتئولیتیکوس.

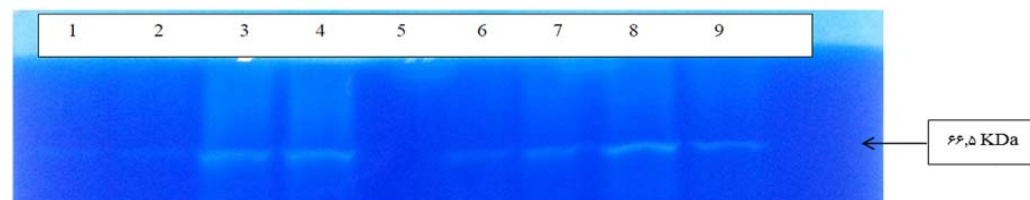
سرور	نتیجه آنالیز	نتیجه گیری
Eris	ΔΔG= -١٤/٦٤ Kcal/mol	افزایش پایداری
PoPMuSiC	ΔΔG= -٠/٧٩ Kcal/mol	افزایش پایداری
HoTMuSiC	ΔT _m = ٠/٩١ °C	افزایش پایداری
Maestro	-٠/٢٨٤	افزایش پایداری
	Kcal/mol	

ترنسفورماسیون ژن پروتاز جهش یافته: ترانسفورماسیون سازه حاوی ژن جهش یافته پروتاز مورد مطالعه، به سلولهای XL1-Blue ۱۴ کلونی نتیجه داد که از بین این کلونیها، مواردی که کلونیهای ماهواره در اطراف خود نداشتند (کلونی ۱ و ۷) برای تعیین توالی انتخاب شدند. تمامی کلونیهای به دست آمده در گلیسروول ۳۰ درصد

می‌باشد.



شکل ۴- نتایج SDS-PAGE بهینه‌سازی بیان پروتئاز نوترکیب سویه سالینی و بیریوپروتئولیتیکوس در زمان‌های مختلف بعد از القا با ۱mM IPTG. ستون ۱ (مارکر پروتئین، وزن مولکولی بر حسب کیلو Dalton)، ستون ۲ (آنزیم طبیعی، قبل القا)، ستون ۳ (آنزیم جهش یافته، قبل القا)، ستون ۴ (آنزیم طبیعی، ۴ ساعت بعد القا)، ستون ۵ (آنزیم جهش یافته، ۴ ساعت بعد القا)، ستون ۶ (سویه کترل حاوی سازه pQE80L بدون ژن pQE80L موردنظر، ۲۴ ساعت بعد القا)، ستون ۷ (آنزیم طبیعی، ۲۴ ساعت بعد القا)، ستون ۸ (آنزیم جهش یافته، ۲۴ ساعت بعد القا).



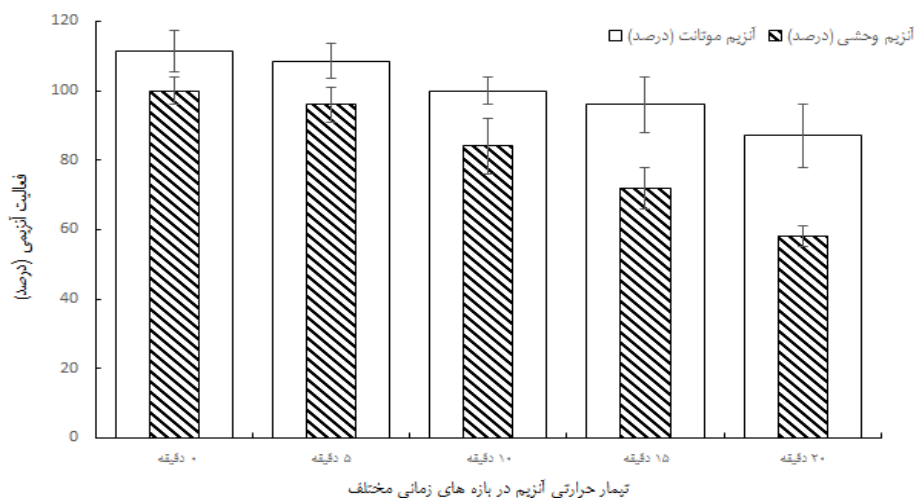
شکل ۵- نتایج زیموگرافی بیان پروتئاز نوترکیب سویه سالینی و بیریوپروتئولیتیکوس در سازه pQE80L در زمانهای مختلف بعد از القاء با ۱mM IPTG. ستون ۱ (آنزیم طبیعی، قبل القاء)، ستون ۲ (آنزیم جهش یافته، قبل القاء)، ستون ۳ (آنزیم طبیعی، ۴ ساعت بعد القاء)، ستون ۴ (آنزیم جهش یافته، ۴ ساعت بعد القاء)، ستون ۵ (سویه کترل حاوی سازه pQE80L بدون ژن pQE80L موردنظر، ۲۴ ساعت بعد القاء)، ستون ۶ و ۷ (آنزیم طبیعی، ۲۴ ساعت بعد القاء)، ستون ۸ و ۹ (آنزیم جهش یافته، ۲۴ ساعت بعد القاء).

بهتری نسبت به آنزیم طبیعی از خود نشان داده است. از طرفی، فعالیت آنزیم جهش یافته نسبت به آنزیم طبیعی حدود ۱۱ درصد بهبود یافت.

بحث و نتیجه‌گیری

برخلاف پروتئازهای جداسازی شده از سویه‌های بسیار هالوفیل که برای فعالیت و پایداری خود نیازمند غلظتهاي بالاي نمک می‌باشند و در حضور غلظتهاي پايان نمک قادر به فعالیت نیستند، آنزیمهای سویه‌های نسبتاً هالوفیل، اين مزيت را دارند که حتی در عدم حضور نمک فعالیت و پایداری خود را حفظ نمایند و بنابراین کاندیدهای مناسب-تری برای استفاده در صنعت می‌باشند (۱۳).

بررسی پایداری آنزیم جهش یافته: نتایج بررسی فعالیت و پایداری دمایی آنزیم طبیعی و جهش یافته در شکل ۶ به صورت درصد فعالیت باقیمانده نسبت به کترل، آورده شده است. با توجه به نتایج به دست آمده می‌توان گفت جهش A56I در آنزیم مورد مطالعه منجر به افزایش پایداری دمایی این آنزیم شده است. از طرفی آنزیم جهش یافته نسبت به آنزیم طبیعی در حالت بدون تیمار حرارتی، فعالیت بیشتری از خود نشان داده است. تیمار آنزیم در دمای ۷۰ درجه سانتی گراد به مدت ۲۰ دقیقه منجر به از دست دادن حدود ۴۲ درصد از فعالیت آنزیم طبیعی و ۲۴ درصد از فعالیت آنزیم جهش یافته شده است. بنابراین می-توان نتیجه گرفت که آنزیم جهش یافته پایداری دمایی



شکل ۶- فعالیت و پایداری دمایی آنزیم پروتئاز طبیعی و جهش یافته A561 سویه سالینی و بیریپروتئولیتیکوس. نتایج بر اساس درصد فعالیت باقی-مانده نسبت به آنزیم طبیعی بیان شده است.

A268P/A195E می‌توانند منجر به افزایش پایداری دمایی آنزیم در حضور حلالهای آلی مختلف (متانول، ایزoproپانول، n-پروپانول و دی متیل فورامامید) گردند. تمامی این جهش در لوپهای سطحی، برخی در نزدیکی A195E و G203D و برخی دور از جایگاه فعال آنزیم (A268P) قرار داشتند (۶). نتایج مطالعات Asghari و همکاران (۲۰۱۰ و ۲۰۱۱) نشان داد که جهش همزمان در آمینواسید پروتئاز سالینی و بیریپروتئولیتیکوس (V189P/A268P/G203D/A195E) منجر به افزایش پایداری آنزیم مربوطه می‌شود. علت این امر به اتصال محکم تر آنزیم جهش یافته به کلسیم، نسبت به آنزیم طبیعی بوده است. علاوه بر افزایش پایداری دمایی، آنزیم جهش یافته مذکور، پایداری بیشتری را در برابر اتوالیز، pH و حلالهای آلی نیز از خود نشان داده است (۳ و ۴).

در مطالعه حاضر، انتخاب جهش افزایش دهنده پایداری دمایی، بر اساس هم رדיغی توالی آن با پروتئازهای هم خانواده خود که دارای پایداری دمایی متفاوتی بودند و بر مبنای نتایج مطالعات Eijsink و همکاران (۱۹۹۵) که در مورد پروتئازهای متعلق به خانواده M4 صورت گرفته

آنزیم زینک متالوپروتئاز تولید شده توسط سویه نسبتاً هالوفیل سالینی و بیریپروتئولیتیکوس به دلیل تحمل رنج وسیعی از غلظتهاي نمک (M=۰-۴) (۷)، پایداری در pH قلیابی (۸/۵-۱۰) و در حضور حلالهای آلی، می‌تواند کاندید مناسبی در صنایع مختلف از جمله صنایع شیمیابی سنتزی باشد (۴ و ۹). با این وجود، پایداری دمایی نیز از خصوصیت کلیدی موردنیاز پروتئازهای صنعتی است. در صورتی پروتئاز مورد استفاده در صنعت، از پایداری دمایی مناسب برخوردار نباشد، دمای بالا می‌تواند میانکنشهای غیرکووالان درون یک پروتئین تا خورده را از بین برده و منجر به از بین رفتن تاخو ردگی پروتئین و در نتیجه عدم کارآیی آن شود (۱۸). بنابراین در این مطالعه، به بیهود پایداری دمایی این آنزیم با استفاده از تکنیک جهش زایی هدفمند مکانی پرداخته شده است.

مطالعات گذشته نشان داده است که ایجاد جهش در یک یا چند آمینواسید در پروتئاز سالینی و بیریپروتئولیتیکوس می‌تواند منجر به افزایش پایداری دمایی آنزیم مربوطه گردد. در مطالعه Badoei-Dalfard و همکاران (۲۰۱۰) مشخص شد که جهشهاي G203D، A268P و

صورت می‌گیرد و در نتیجه پایداری دمایی بیشتری دارد (۱۹). نتایج تمامی سوررهای مورد بررسی در این مطالعه، اثر مثبت جهش A56I در پایداری دمایی آنزیم متالوپروتئاز سالینی ویبریو پروتئولیتیکوس را تأیید نمود. نتایج آزمایشگاهی این مطالعه نیز افزایش پایداری دمایی آنزیم متالوپروتئاز باکتری سالینی ویبریو پروتئولیتیکوس جهش یافته را تأیید نمود.

جهش‌زایی در ژن مورد بررسی، با استفاده از PCR توسط پرایمرهای جهش‌زا و سپس برش رشته قدیمی و طبیعی DNA با استفاده از آنزیم محدود الاثر *Dpn* I صورت گرفت. در نهایت ژن جهش یافته، به سویه‌های مختلف بیانی اکلامی ترنسفورم شد تا بیان و پایداری آنزیم مورد بررسی قرار گیرد. لازم به ذکر است که برخلاف سازه pQE-30L که در آن ژن پروتئین رپرسور lac (مهارکننده اپرون لاکتونز) به صورت ترانس در پلاسمید pREP4 موجود است و باید از سویه‌های بیانی خاص حاوی پلاسمید pREP4 استفاده کرد (مانند اکلامی M15 و SG13009)، سازه بیانی pQE80L دارای رپرسور lac به صورت سیس بوده و ژن وارد شده در آن می‌تواند توسط هر نوع سویه میزبانی اکلامی بیان گردد (۲۴). بر اساس نتایج بهینه‌سازی بیان آنزیم نوترکیب، بیشترین میزان بیان آنزیم توسط سویه میزبانی BL21 (DE3) pLysS و در محیط کشت TB، دمای ۳۷ درجه سانتی گراد، زمان انکوباسیون ۲۴ ساعت بعد القاء و با استفاده از غلظت IPTG برابر با mM ۱ به دست آمد. این در حالی است که در مطالعه بیگی و همکاران (۲۰۱۲) بالاترین میزان بیان این آنزیم که با استفاده از روش شناسی پاسخ سطح به دست آمده است برابر با غلظت IPTG برابر با ۰/۰۰۸۹ mM و دمای ۳۰ درجه سانتی گراد می‌باشد. همچنین در مطالعه بیگی و همکاران (۲۰۱۲) بیان شد غلظت بالاتر IPTG منجر به کاهش بیان آنزیم می‌گردد (۷). با این وجود در مطالعه حاضر، بیان آنزیم با استفاده از شرایط بهینه شده توسط مطالعه Beigi و همکاران (۲۰۱۲) به میزان بسیار کمتری

است، می‌باشد. نتایج Eijsink و همکاران نشان داد که در پروتئازهای این خانواده، لوپهای ناحیه N-ترمینال نسبت به نواحی داخلی پروتئین و C-ترمینال، در برابر تغییرات دمایی بسیار حساس بوده و احتمالاً زودتر از بقیه نواحی آنزیم از حالت طبیعی خود خارج می‌شوند (۱۱). به علاوه، در مطالعه قبلی بر روی متالوپروتئاز باکتری سالینی ویبریو پروتئولیتیکوس با تبدیل آسید آمینه آلانین ۵۶ به پرولین (A56P) و آسید آمینه ترئونین ۷۳ به فنیل آلانین (T73F) پایداری دمایی این پروتئاز افزایش یافته است. با این حال جهش A56P اثر کمی بر پایداری دمایی داشت (۲۲). با توجه به هم‌ردیفی توالی متالوپروتئازهای ترموفیل هم خانواده ۵۶، در موقعیت ۷۳ فنیل آلانین و در موقعیت ۵۶ ایزولوسین وجود داشته است. بنابراین در این مطالعه، به جای جایگزینی آلانین ۵۶ به پرولین (A56P)، اثر جایگزینی آلانین ۵۶ به ایزولوسین (A56I) بر پایداری دمایی آنزیم مورد بررسی قرار گرفت. به منظور اطمینان بیشتر از سوررهای بیوانفورماتیکی مختلف (Eris، Maestro، HoT MuSiC، PoPMuSiC) جهت بررسی اثر این جهش در پایداری دمایی آنزیم مربوطه استفاده شد. لازم به ذکر است که نتایج سوررهای Eris و PoPMuSiC و Maestro بر مبنای اختلاف تغییرات انرژی آزاد گیبس ($\Delta\Delta G$) می‌باشد. از آن جایی که این کمیت ترمودینامیکی، میزان خودبهخودی انجام شدن یک واکنش و پایدار بودن محصول را نشان می‌دهد، بنابراین منفی بودن آن مولید این است که آنزیم جهش یافته پایداری دمایی بیشتری نسبت به آنزیم طبیعی دارد (۹). در حالی که نتایج سورر HoT MuSiC بر مبنای اختلاف دمای ذوب (T_m) آنزیم جهش یافته و طبیعی می‌باشد. به عبارت دیگر، به اختلاف دمایی که در آن نیمی از آنزیمهای در فرآیند باز شدن ساختار پروتئین (Unfolding) قرار می‌گیرند، اشاره دارد. بنابراین مثبت بودن این عدد اشاره دارد که باز شدن فولدینگ آنزیم جهش یافته در دمای بالاتری نسبت به آنزیم وجشی

آمده، می‌توان این طور نتیجه گرفت که آنزیم تولید شده توسط سویه بیانی در ابتدای مسیر بلوغ خود قرار دارد و به صورت فرم نابالغ و دارای حدود ۶۱۱ آمینواسید است و هنوز متتحمل برش پروتولیتیک در دو انتهای خود نشده است.

در مجموع نتایج حاصل از این مطالعه نشان داد که جایگزینی آلانین ۵۶ به ایرولوسین منجر به بهبود فعالیت و پایداری دمایی در آنزیم متالوپروتاز باکتری سالینی ویبریو پروتولیتیکوس شد. بنابراین روش همردیفی چندگانه و جهش زایی هدفمندکاری با استفاده از آنزیم *DpnI* به ترتیب در انتخاب جهش مؤثر و تغییر در توالی پروتئینی پروتولیتیکوس شد. بنابراین روش همردیفی چندگانه و جهش زایی هدفمندکاری با استفاده از آنزیم *DpnI* به ترتیب در انتخاب جهش مؤثر و تغییر در توالی پروتئینی پروتولیتیکوس شد. به علاوه، نتایج زیموگرافی سویه‌ها نشان دهنده حضور آنزیم پروتاز در سویه‌های نوترکیب و عدم حضور آن در سویه فاقد سازه بودند. بنابراین تکنیک زیموگرافی به همراه تکنیک-SDS-PAGE می‌تواند در نشان دادن فعالیت آنزیم بعد از انجام جهش زایی مفید باشد.

تقدیر و تشکر: نویسندهای این مقاله از دکتر حسین محمدیان به دلیل رهنمودهایشان کمال تشکر را دارند.

۲. وارسته، عبدالعلی، اصغری، سید محسن، تقدیر، مجید، آقا معالی، محمود رضا، پازنگ، محمد، مهرنژاد، فرامرز. ۱۳۹۶. اثر کلسیم بر فعال سازی ترمولیزین توسط نمک. پژوهش‌های سلولی و مولکولی (مجله زیست‌شناسی ایران); ۱(۳۰): ۱۰۵-۱۰۰.

3. Asghari, S. M., Pazhang, M., Ehtesham, S., Karbalaei-Heidari, H. R., Taghdir, M., Sadeghizadeh, M., ... & Khajeh, K. 2010. Remarkable improvements of a neutral protease activity and stability share the same structural origins. Protein Engineering, Design & Selection, 23(8), 599-606.
4. Asghari, S. M., Khajeh, K., Dalfard, A. B., Pazhang, M., & Karbalaei-Heidari, H. R. 2011. Temperature, organic solvent and pH stabilization of the neutral protease from *Salinovibrio proteolyticus*: significance of the

مشاهده شد. این موضوع به اهمیت بهینه‌سازی شرایط بیان آنزیم نوترکیب در هر کار تحقیقاتی مجزا اشاره دارد (۷).

همچنین لازم به ذکر است که با توجه به نتایج مربوط به ژل SDS-PAGE (شکل ۴) وزن مولکولی به دست آمده برای پروتئاز نوترکیب حدود ۶۶/۵ کیلو Dalton بوده است و این در حالی است که مطالعات قبلی صورت گرفته وزن مولکولی این پروتئاز را ۳۴ کیلو Dalton گزارش کرده اند (۱۴). در توضیح باید گفت وزن مولکولی گزارش شده در مطالعه کربلائی حیدری و همکاران (۲۰۰۸) مربوط به فرم بالغ این آنزیم است یعنی آنزیم پروتازی که در هر دو انتهای N-ترمینال و C-ترمینال خود برش یافته است (برش پروتولیتیک که آنزیم در گزار به فرم بالغ خود متتحمل می‌شود). از طرفی وزن مولکولی بیان شده توسط دکتر کربلائی حیدری و همکاران با استفاده از اسپکتروفوتومتری جرمی و بر روی آنزیم خالص صورت گرفته است (۱۴). در حالی که وزن مولکولی گزارش شده در مطالعه حاضر با استفاده از SDS-PAGE و بر روی آنزیمی که از بلافلصله از سویه بیانی به دست آمده و هنوز خالص سازی نشده است، می‌باشد. با توجه به وزن ۶۶/۵ کیلو Dalton به دست

منابع

1. صدرمتاز، افسانه. و اصغری، سید محسن. ۱۳۹۴. مطالعات مقایسه‌ای مقاومت پروتاز حاصل از سودوموناس آتروجينوزا در مقایسه با ترمولیزین حاصل از باسیلوس ترموبیروتولیتیکوس در حلال‌های آلی. پژوهش‌های سلولی و مولکولی (مجله زیست‌شناسی ایران); ۴(۲۸): ۵۶۰-۵۶۷.

structural calcium. BMB reports, 44(10), 665-668.

5. Amoozegar, M.A., Schumann, P., Hajighasemi, M., Fatemi, A.Z., and Karbalaei-Heidari, H.R. 2008. *Salinovibrio proteolyticus* sp. nov., a moderately halophilic and proteolytic species from a hypersaline lake in Iran. International Journal of Systematic and Evolutionary Microbiology. 58, 1159-1163.
6. Badoei-Dalfard, A., Khajeh, K., Asghari, S.M., Ranjbar, B., and Karbalaei-Heidari, H.R. 2010.

- Enhanced activity and stability in the presence of organic solvents by increased active site polarity and stabilization of a surface loop in a metalloprotease. *Journal of Biochemistry*. 148, 231-238.
7. Beigi, L., Karbalaei-Heidari, H.R., and Kharrati-Kopaei, M. 2012. Optimization of an extracellular zinc-metalloprotease (SVP2) expression in *Escherichia coli* BL21 (DE3) using response surface methodology. *Protein Expression and Purification*. 84, 161-166.
 8. Cupp-Enyard, C. 2008. Sigma's non-specific protease activity assay-casein as a substrate. *Journal of Visualized Experiments*. 19, 890-899.
 9. Dehouck, Y., Kwasigroch, J. M., Gilis, D., & Roonan, M. 2011. PoPMuSiC 2.1: a web server for the estimation of protein stability changes upon mutation and sequence optimality. *BMC Bioinformatics*, 12(1), 151.
 10. Eijsink, V.G., van der Zee, R., van den Burg, B., Vriend, G., and Venema, G. 1991. Improving the thermostability of the neutral protease of *Bacillus stearothermophilus* by replacing a buried asparagine by leucine. *FEBS Letters*. 282, 13-16.
 11. Eijsink, V.G., Veltman, O.R., Aukema, W., Vriend, G., and Venema, G. 1995. Structural determinants of the stability of thermolysin-like proteinases. *Nature Structural & Molecular Biology*. 2, 374-379.
 12. Haki, G. D. and Rakshit S. K. 2003. Developments in industrially important thermostable enzymes: a review. *Bioresource Technology*. 89(1): 17-34.
 13. Karbalaei-Heidari, H.R., Ziaeef, A.-A., Schaller, J., and Amoozegar, M.A. 2007. Purification and characterization of an extracellular haloalkaline protease produced by the moderately halophilic bacterium, *Salinivibrio* sp. strain AF-2004. *Enzyme and Microbial Technology*. 40, 266-272.
 14. Karbalaei-Heidari, H.R., Ziaeef, A.A., Amoozegar, M.A., Cheburkin, Y., and Budisa, N. 2008. Molecular cloning and sequence analysis of a novel zinc-metalloprotease gene from the *Salinivibrio* sp. strain AF-2004 and its extracellular expression in *E. coli*. *Gene*. 408, 196-203.
 15. Marokházi, J., et al. 2004. Comparison of proteolytic activities produced by entomopathogenic *Photorhabdus* bacteria: strain- and phase-dependent heterogeneity in composition and activity of four enzymes. *Applied and Environmental Microbiology*. 70(12): 7311-7320.
 16. Mienda, B.S., and Yahya, A. 2011. Engineering of Microbial Proteases: Improving Stability and Catalytic Performances. *Institute of Integrative Omics and Applied Biotechnology (IIOAB) Journal*. 2, 10-15.
 17. Mitchinson, C., and Wells, J.A. 1989. Protein engineering of disulfide bonds in subtilisin BPN'. *Biochemistry*. 28, 4807-4815.
 18. Pantoliano, M.W., Whitlow, M., Wood, J.F., Rollence, M.L., Finzel, B.C., Gilliland, G.L., Poulos, T.L., and Bryan, P.N. 1988. The engineering of binding affinity at metal ion binding sites for the stabilization of proteins: subtilisin as a test case. *Biochemistry*. 27, 8311-8317.
 19. Pucci, F., Kwasigroch, J. M., & Roonan, M. 2020. Protein thermal stability engineering using HoTMuSiC. In *Structural Bioinformatics* (pp. 59-73). Humana, New York, NY.
 20. Rani, K., Rana, R., Datt, S. 2012. Review on latest overview of proteases. *International Journal of Current Life Science*. 2, 12-18.
 21. Sambrook, J., and Russell, D.W. 2001. Molecular cloning: a laboratory manual, Cold spring harbor laboratory press.
 22. Shirdel, S. A., Khajeh, K., Asghari, S. M., & Karbalaei- Heidari, H. R. 2014. Enhancement of thermostability and resistance against autolysis in a zinc metalloprotease. *Engineering in Life Sciences*, 14(2), 229-234.
 23. Takagi, H., Takahashi, T., Momose, H., Inouye, M., Maeda, Y., Matsuzawa, H., and Ohta, T. 1990. Enhancement of the thermostability of subtilisin E by introduction of a disulfide bond engineered on the basis of structural comparison with a thermophilic serine protease. *Journal of Biological Chemistry*. 265, 6874-6878.
 24. Tomasselli, A. G., Paddock, D. J., Emmons, T. L., Mildner, A. M., Leone, J. W., Lull, J. M., and Benson, T. E. 2008. High yield expression of human BACE constructs in *Escherichia coli* for refolding, purification, and high resolution diffracting crystal forms. *Protein and Peptide Letters*, 15(2), 131-143.

Enhancement of *Salinivibrio Proteolyticus* Strain AF-2004 Protease Thermostability Using Site Directed Mutagenesis

Borhani M.S.¹ and Etemadifar Z.²

¹ Dept. of Biology, Faculty of Sciences, Gonbad Kavous University, Gonbad Kavous, I.R. of Iran

² Dept. of Cell and Molecular Biology & Microbiology, Faculty of Biological Science and Technology, University of Isfahan, Isfahan, I.R. of Iran

Abstract

Site-directed mutagenesis is one of the most effective methods for enhancing the activity and stability of industrial enzymes. In this study, the influence of Alanine 56 substitution to isoleucine on the thermostability of a metalloprotease produced by a moderately halophilic bacterium named *Salinivibrio Proteolyticus* (SVP) Strain AF-2004 was investigated. The given mutation was constructed using the mutagenic primers and *DpnI* restriction enzyme treatment. The resulted mutant gene in the pQE-80L vector was transformed into the various expression strains of *Escherichia coli* (XL1-Blue, BL21 (DE₃) pLysS, and Top10). Then, the enzyme expression was optimized using different cultural conditions. Subsequently, the wild and mutant enzymes were extracted from zymography gel. Finally, the thermostability and activity of wild and mutant enzymes were assayed. The maximum expression of the enzyme was achieved using *E.coli* BL21 (DE3) pLysS, in Terrific broth medium, in the presence of 1 mM IPTG, and after 24 h induction at 37 °C. The extracted wild and mutant enzymes lost 42 and 24 percent of their activity after incubation at 70 °C for 20 min, respectively. However, the activity of the mutant enzyme was 11 percent more than the wild enzyme. Therefore, the activity and thermostability of the mutant SVP metalloprotease (A56I) were improved compared to the wild enzyme.

Keywords: Optimization, Metalloprotease, Expression cloning, Halophile, Zymography